

2012 年 10 月カナダ西部, 2013 年 1 月アラスカ南東沖地震津波の規模

羽鳥 徳太郎 *

1. はじめに

2012 年 10 月 27 日 3 時 04 分 (UTC), カナダ西部クイーン・シャーロット諸島付近で大規模な地震が発生し, 太平洋の広域で津波が観測された。米国 USGS によれば, 震央は 52.788N, 132.101W, 深さ 14km, M7.7 であった。気象庁 (2012) の解析では, 北北東一南南西方向に圧力軸をもつ逆断層型で, 太平洋プレートと北米プレートの境界で発生したとある。同諸島付近での津波発生は, 1949 年 8 月の地震 (M8.1) 以来である。さらに 2013 年 1 月 5 日 8 時 58 分 (UTC) に, 300km 北方のアラスカ南東沖で地震が発生し (震央 55.238N, 134.777W, 深さ 9.9km, M7.5, USGS), 小津波を伴った。

本稿では, 米国 WC/ATWC, NOAA と気象庁 (2012) から報告された津波観測値をもとに, 津波の波源域や規模, 波高分布の様相を調べ, 周辺域で発生した津波と比較検討してみる。

2. 波高分布, 波源域

図 1 に, NOAA による 2012 年カナダ西部津波, 図 2 には 2013 年アラスカ南東沖津波の検潮記録例を示す。2012 年カナダ津波では, NOAA からの観測点数は 86 箇所である (中南米域は未発表)。図 3 に, 震源周辺域の潮汐上の最大波の片振幅値 (cm) 分布と津波初動の伝播時間 (時:分) を付記した。右上図に, 2013 年アラスカ津波による 4 地点の観測値を示す。

図 4 には, 太平洋域における 2012 年カナダ津波の片振幅値分布 (cm) と伝播時間

(時:分) を示す。片振幅値は震源域周辺で 3-25cm と小さいが, 北米沿岸では 8-44cm, クレスセント・シティが大きい。アラスカ沿岸で 7-15cm, ハワイ 43-79cm が突出している。また, ニュージーランドで 10-14cm が大きい。気象庁によれば, 日本沿岸では 10-24cm の津波が観測され, 久慈, 鮎川, 鹿児島県中之島が突出している。図 4 には, 津波マグニチュード $m = 1.5$ (後述) を基準に, 振幅偏差を区分して示した。振幅分布のパターンから, 波源から南西と西方向に強い津波エネルギーが放射したことを示唆する。なお, 津波初動の伝播時間は米国西岸 2.7-4 時間, ハワイで 5 時間 30 分前後, 日本では 10.5-12 時間であった。

波源域

図 3 に, 逆伝播図による津波波源域を示した。津波初動の伝播時間は Langara Point 36 分, Winter Harbour 57 分, Neah Bay 1 時間 59 分である。3 地点からの波面によると, 波源域はモレスビ島西岸に沿い長さ 120km と推定され, 地震規模に対して標準的なサイズである。3 地点とも津波初動は押し波であり(図 1), 隆起域とみなされる。なお, Suppasri・他(2013) は同じ沿岸域に波源域を想定し, 震源周辺の津波高を計算した。

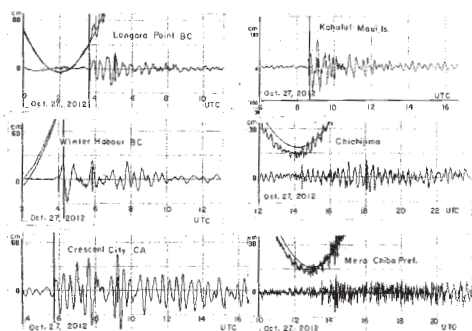


図 1 2012 年 10 月カナダ西部津波の検潮記録例 (NOAA による)

* 元東京大学地震研究所

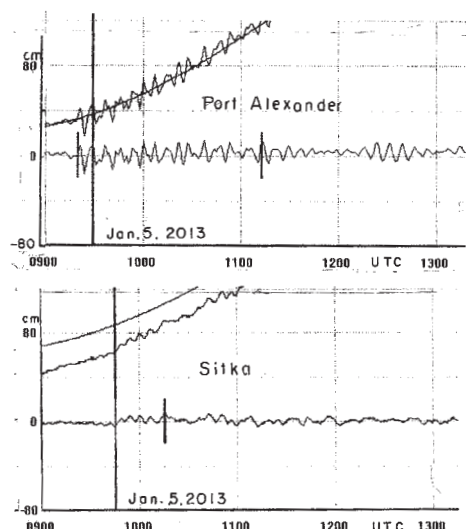


図2 2013年1月アラスカ南東沖津波の検潮記録例(NOAAによる)

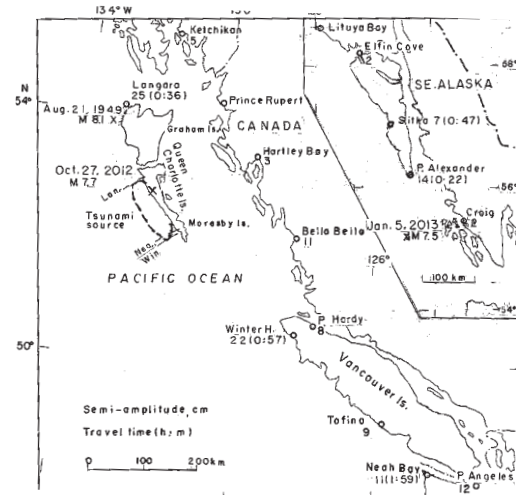


図3 震源域周辺の2012年カナダ、2013年アラスカ津波の片振幅分布(cm)と初動の伝播時間(時:分)、推定波源域

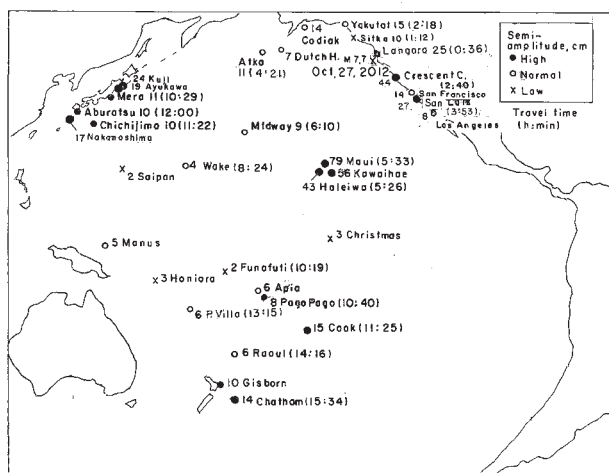


図4 2012年カナダ西部津波の片振幅分布(振幅偏差で区分)と初動の伝播時間(時:分)

3. 津波の規模

図5には、筆者による津波マグニチュードの判定図を示す。横軸に震央から観測点までの距離、縦軸には最大波の片振幅値をとる。津波マグニチュード m 値は、振幅が距離 $\Delta^{-1/2}$ で減衰するとみなし、2.24倍の刻みで区分してある。2012年カナダ津波では、振幅値が大幅にばらつき、震源域周辺では25cm以下であったが、広域の観測値から $m = 1.5$ と判定される。2013年アラスカ津波

は $m = -1$ とみなされる。両津波の規模は地震規模と比べ、標準を下回る。一方、1949年8月21日に、クイーン・シャーロット諸島北部でM8.1の巨大地震があり(図3)、津波が観測された。各地の振幅値はKetchikan 60cm, Sitka 7.5cm, ハワイ Hilo 10cmであった(Cox, Pararas-Carayannis, 1976; Soloviev, Go, 1985)。津波マグニチュードは $m = 1$ と判定され(図5)、地震規模と比べてきわめて小さい。なお、前報(羽鳥, 1998)で $m = 2$ としたが、 $m = 1$ に訂正する。

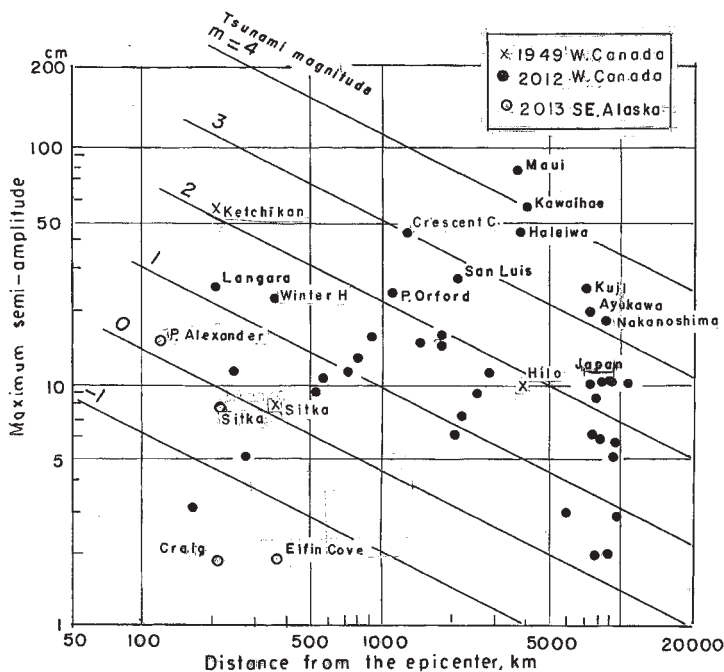


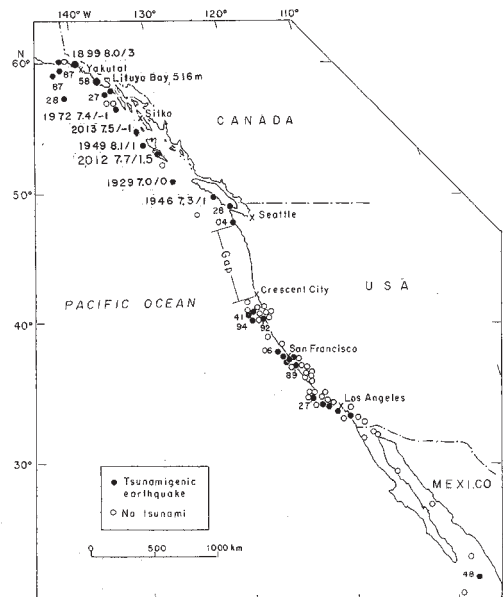
図5 震央距離と片振幅値の関係。津波マグニチュードで区分

4. 北米西岸域の津波

図6には、1812–1997年間に、北米西岸域で発生した地震 ($M_s > 6.5$) の震央分布(羽鳥, 1998)に、今回の2例の津波を追加して示す。津波を伴った地震(黒丸)、津波記録のないもの(白丸)で示す。主な津波には、発生年に地震と津波のマグニチュード、 M/m 値を付記した、そのほかの地点には、1900年代の発生年号を示す。アラスカ南東部では、M7.0前後の地震で $m = 1$ 以下の津波が多発している。1899年9月にヤクタット付近でM8.0の地震では、大規模な津波($m = 3$)を伴った。1958年7月にリッヤ湾で山体が崩落して、津波が海拔516mに遡上した被災例がある。ヤクタット付近では、1788年以降の波高累積値の推移から(Hatori, 2005),予測値が実測値を上回り要警戒域である。

過去200年間に、ワシントン州～オレゴン州間700km区間が、大地震の空白域になっている。1700年1月(元禄12年)にカスケード巨大地震(M9.0)があり、日本で津波が記録され、岩手県宮古、和歌山県田辺で

遡上高4–5mと推定されている(Satake・他, 1996; 都司・他, 1998)。カリフォルニア州も津波が多発しているが、 $m = 0$ 以下の小規模であった。

図6 北米西岸域の震央分布。発生年に地震と津波のマグニチュード、 M/m 値を示す

5. むすび

太平洋域の検潮記録をもとに、2012年10月27日カナダ西部津波と2013年1月5日アラスカ南東沖津波の規模と振幅分布を検討した。津波マグニチュードは2012年カナダ津波 $m = 1.5$ 、2013年アラスカ津波 $m = -1$ と判定される。両津波の規模は地震規模と比べ標準以下である。2012年カナダ津波の波源域は、モレスビ島西岸に沿い、長さ120kmと推定された。2012年カナダ津波では、震源域周辺の振幅値は25cm以下であったが、ハワイ43–79cm、ニュージーランド10–14cm、日本では10–24cmが突出している。振幅分布のパターンから、波源から南西と西方向に強いエネルギーが放射したことを示唆する。ヤクタット、カスケード沿岸では大きな被災歴があり、現在、大地震の空白域とみなされており注目したい。

参考文献

- Cox, D.C., and G.Pararas-Carayannis, 1976, Catalog of tsunamis in Alaska revised 1976, World Data Center A for Solid Earth Geophysics, NOAA Report SE-1.
- 羽鳥徳太郎, 1998, アラスカ南東部～米国西岸における津波の規模スケール, 地震2, Vol.51, pp.203–210.
- Hatori, T., 2005, Distribution of cumula-

tive tsunami energy from Alaska–Aleutians to western Canada, K. Satake (ed.), Tsunami: Case Studies and Recent Developments, 193–201. Springer.

気象庁, 2012, 10月28日カナダ、クイーンシャーロット諸島(ハイダ・グワイ)の地震, 平成24年10月 地震・火山月報(防災編)

気象庁, 2013, 1月5日 米国、アラスカ南東部地震, 平成25年1月 地震・火山月報(防災編)

Satake, K., K. Shimazaki, Y. Tsuji and K.Ueda, 1996, Time and size of a giant earthquake in Cascadia inferred from Japanese tsunami records of January 1700, Nature, 379 (18), 246–249.

Soloviev, S.L. and Ch.H.Go, 1985, Catalog of tsunamis on the western shore of the Pacific Ocean (in Russian). Translated by Canada Institute for Scientific and Technical Information National Research Council, Ottawa KIA OS2.

Suppasri, A., A.Muhari, M.Affan and F.Imamura, 2013, A summary of the rapid response of tsunamis in 2012 (from April 2012 to March 2013), Rep.Tsunami Engin., Tohoku Univ. Vol.30, pp.3–17.

都司嘉宣・上田和枝・佐竹健治, 1998, 日本で記録された1700年1月(元禄十二年十二月) 北米巨大地震による津波, 地震2, Vol.51, pp.1–17.